

УДК 577.2:616-006

У.Е. Каиров^{1,2}, А.Ю. Зиновьев³, Т.А. Карпенюк^{1*}, Е.М. Раманкулов²¹Казахский национальный университет им. аль-Фараби, Казахстан, г. Алматы²Национальный центр биотехнологии РК, Казахстан, г. Астана³Институт Кюри, Франция, Париж

*E-mail: ukairov@gmail.com

Поиск воспроизводимых независимых компонент в транскриптомах пациентов с раком молочной железы

Аннотация. С использованием Метода независимых компонент, разработана методика поиска воспроизводимых независимых компонент в транскриптомных наборах рака молочной железы на основе микрочипов Affymetrix HG-U133A. Данная методика может быть использована для построения корреляционных графов, выявления генных взаимодействий и новых сигнальных путей, характерных для раковых заболеваний.

Ключевые слова: рак молочной железы, метод независимых компонент, корреляционные графы экспрессии генов, генные взаимодействия, сигнальные пути

В настоящее время, широкое применение в биомедицине и биотехнологии получили технологии высокоплотных микрочипов [1,2]. Высокоплотные микрочипы представляют собой высокопроизводительные средства для одновременного определения уровня экспрессии тысяч генов, различных типов тканей и клеток при различных физиологических состояниях, обработанных химическими или лекарственными препаратами [3-7]. Наиболее активно высокоплотные микрочипы используют для определения экспрессии генов в раковых тканях человека. Такой транскриптомный анализ является одним из важных направлений современной функциональной геномики и биоинформатики.

Накопление огромных массивов данных, генерируемых различными исследованиями на основе технологий высокоплотных микрочипов, требует применения новых статистических и математических подходов для обработки данных. К примеру, один микрочип для измерения экспрессии генов человека компании Affymetrix, несет информацию о более чем 25 тысячах генах [8,9], а количество образцов в современных исследованиях с использованием микрочипов, может превышать десятки сотен.

Классическая статистика хорошо оперирует данными в случаях, где мы имеем большое

количество наблюдений для небольшого числа переменных. Однако существующие сегодня методы анализа, особенно в геномных исследованиях, генерируют чрезмерно большое количество разных переменных. В таких случаях применяются методы «обучения без учителя», использующие технику уменьшения размерности данных для сокращения многомерности транскриптомных данных и выделения значимых паттернов экспрессии. Одним из перспективных и применяемых математических методов для анализа данных большой размерности является Метод независимых компонент (МНК) [10].

Первая работа с применением МНК для анализа транскриптомных данных была опубликована в 2001 году [11]. Затем, в более детальной работе, был освещен потенциал МНК, примененный для анализа данных, приближенных к биологическим реалиям клетки [12]. Несмотря на наличие исследований с применением МНК, ранее не проводили тщательный анализ и поиск воспроизводимых независимых компонент, необходимый для дальнейшего правильного извлечения и построения генных сетей взаимодействия.

В задачи нашего исследования входил поиск и анализ воспроизводимых независимых компонент после применения Метода независимых компонент для транскриптомных наборов данных рака молочной железы.

В качестве материала для исследования использовались необработанные серии наборов данных GSE1456, GSE2034, GSE2990, GSE3494 (*.CEL и *.DAT файлы) микрочипов Affymetrix (HG-U133A) из банка данных GEO (Gene Expression Omnibus, NCBI) [14]. Для анализа были выбраны микрочипы пациентов с раком молочной железы. Статистическая обработка значений сигналов была проведена с помощью R2.8.1 (Bioconductor) [15] с применением метода нормализации GCRMA [16]. Для центрирования, объединения пробсетов по медианному значению, вычисления коэффициентов корреляции Пирсона и анализа обработанных данных использовалась математическая среда разработки и программирования Matlab 2008b (MathWorks) [17]. Для расчета независимых компонент использовался пакет функций и процедур Icasto [18] для среды Matlab.

Для исследования была отобрана выборка из общедоступных наборов микрочипов, состоящая из четырех серий данных разных экспериментов с общим количеством образцов, равным 885 (Таблица 1).

Изначально необработанные *.CEL файлы для четырех раковых наборов подвергались статистической процедуре нормализации с помощью метода GCRMA (рисунок). В нашем случае, применение GCRMA нормализации позволило учитывать поправку на GC-содержание в пробсетах, расположенных на микрочипе. Затем, значения сигналов с микрочипов были отцентрированы в Matlab по средней величине отдельного пробсета для каждого отдельного набора данных. Дополнительно, с целью избежания избыточной зашумленности данных проводился отбор наиболее вариабельных генов по пороговому значению от 3.0 и более. Для микрочипов Affymetrix HG-U133A характерно соответствие нескольких пробсетов одному гену [8,9]. Для унификации и приведения пробсетов к одному гену, в среде Matlab была применена процедура объединения нескольких пробсетов, соответствующих одному гену, по медианному значению. После применения такого подхода спектр распределения сигналов кардинально не меняется и позволяет избежать потери информативности при статистической обработке сигналов (Рисунок).

Таблица 1 - Общая характеристика выборки данных

№ серии набора данных	Тип рака	Количество образцов в серии	Количество выбранных микрочипов	Количество пробсетов на микрочипе	Количество генов после статистической обработки
GSE1456	Рак молочной железы	318	159	22 285	8775
GSE2034	Рак молочной железы	286	286	22 285	13016
GSE2990	Рак молочной железы	189	189	22 285	8941
GSE3494	Рак молочной железы	502	251	22 285	9085

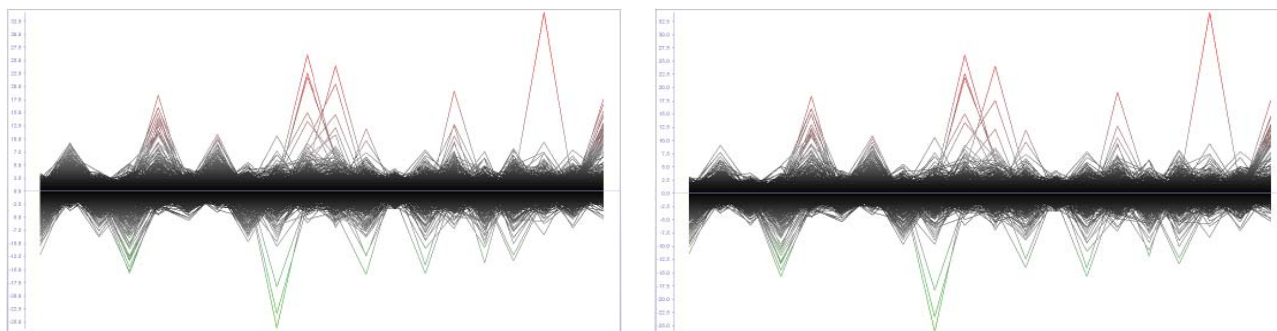


Рисунок - Общая картина распределения сигналов экспрессии на примере набора данных GSE3494 до процедуры медианного объединения пробсетов (сверху) и после применения процедуры (снизу). По оси абсцисс – кривые значений сигналов с пробсетов, а по оси ординат – количественные значения уровней сигналов

Таблица 2 - Корреляционная таблица значений независимых компонент для наборов данных GSE1456, GSE2034, GSE2990, GSE3494

Независимая переменная	Тип взаимодействия	Зависимая переменная	Абсолютное значение коэффициента корреляции
11C2	корреляция	21C1	0.708856
11C4	корреляция	21C2	0.768026
11C5	корреляция	21C6	0.653702
11C10	корреляция	21C13	0.568184
11C12	корреляция	21C4	0.689559
11C15	корреляция	21C10	0.546145
11C19	корреляция	21C12	0.596774
11C20	корреляция	21C16	0.57104
11C1	корреляция	31C6	0.521852
11C2	корреляция	31C3	0.719649
11C4	корреляция	31C1	0.809597
11C5	корреляция	31C2	0.780374
11C8	корреляция	31C10	0.517197
11C9	корреляция	31C11	0.516189
11C10	корреляция	31C7	0.632663
11C12	корреляция	31C8	0.733949
11C13	корреляция	31C15	0.519835
11C16	корреляция	31C14	0.654042
11C1	корреляция	41C3	0.555495
11C2	корреляция	41C20	0.767128
11C3	корреляция	41C13	0.548447
11C4	корреляция	41C1	0.836501
11C5	корреляция	41C4	0.741107
11C9	корреляция	41C10	0.548755
11C10	корреляция	41C6	0.632444
11C12	корреляция	41C5	0.766037
11C13	корреляция	41C9	0.585166
11C16	корреляция	41C15	0.574019
11C17	корреляция	41C7	0.55048
11C20	корреляция	41C8	0.579017
21C1	корреляция	31C3	0.686068
21C2	корреляция	31C1	0.770041
21C4	корреляция	31C8	0.715829
21C6	корреляция	31C2	0.647796
21C8	корреляция	31C10	0.709816
21C9	корреляция	31C11	0.514548
21C10	корреляция	31C14	0.510483
21C11	корреляция	31C15	0.572404
21C13	корреляция	31C7	0.511726
21C16	корреляция	31C13	0.548153
21C17	корреляция	31C16	0.573692
21C1	корреляция	41C20	0.684927
21C2	корреляция	41C1	0.80812
21C4	корреляция	41C5	0.74372
21C6	корреляция	41C4	0.646009
21C8	корреляция	41C7	0.713021
21C9	корреляция	41C10	0.575606
21C13	корреляция	41C6	0.544601
21C17	корреляция	41C14	0.550909
41C1	корреляция	31C1	0.868915
41C2	корреляция	31C4	0.597187
41C3	корреляция	31C6	0.702172
41C4	корреляция	31C2	0.795974
41C5	корреляция	31C8	0.861986
41C6	корреляция	31C7	0.759029
41C7	корреляция	31C10	0.778385
41C9	корреляция	31C15	0.597743
41C10	корреляция	31C11	0.658879
41C11	корреляция	31C12	0.662245
41C12	корреляция	31C13	0.636641
41C14	корреляция	31C16	0.704727
41C15	корреляция	31C14	0.641869
41C16	корреляция	31C14	0.583524
41C18	корреляция	31C17	0.594559

Цифра перед каждой независимой компонентой (IC) соответствует набору данных: 1 – GSE1456, 2 – GSE2034, 3 – GSE2990, 4 – GSE3494.

Таким образом, была разработана методика поиска воспроизводимых независимых компонент среди разных наборов транскриптомных данных на основе микрочипов Affymetrix HG-U133A. Данная методика применения Метода независимых компонент и дальнейший анализ могут использоваться для построения корреляционных графов, генных взаимодействий и выявления новых сигнальных путей в раковых заболеваниях.

Литература

- 1 Schena M., Shalon D., Davis R.W., Brown P.O. Quantitative monitoring of gene expression patterns with a complementary DNA microarray // *Science*. – 1995. – V.270. – P. 467-70.
- 2 DeRisi J., Penland L., Brown P.O. et al. Use of a cDNA microarray to analyse gene expression patterns in human cancer // *Nature Genetics*. – 1996. – V.14. – P. 457-460.
- 3 Rolph M.S., Sisavanh M., Liu S.M., Mackay C.R. Clues to asthma pathogenesis from microarray expression studies // *Pharmacol. Ther.* – 2006. – V.109. – P. 284-294.
- 4 Evans S.J., Choudary P.V., Vawter M.P., et al. DNA microarray analysis of functionally discrete human brain regions reveals divergent transcriptional profiles // *Neurobiol. Dis.* – 2003. – V.14. – P. 240-250.
- 5 Golub T.R., Slonim D.K., Tamayo P., et al. Molecular classification of cancer: class discovery and class prediction by gene expression monitoring // *Science*. – 1999. – V.286. – P. 531-537.
- 6 Van Veer L.J., Dai H., Van de Vijver M.J., et al. Gene expression profiling predicts clinical outcome of breast cancer // *Nature*. – 2002. – V. 415. – P. 530-536.
- 7 Sorlie T., Tibshirani R., Parker J., et al. Repeated observation of breast tumor subtypes in independent gene expression data sets // *Proc. Natl. Acad. Sci. USA*. – 2003. -V.100 (14). – P. 8418-8423.
- 8 <http://www.affymetrix.com>
- 9 Каиров У.Е., Зиновьев А.Ю., Карпенюк Т.А., Раманкулов Е.М. ДНК-микрочипы: от основ технологии к анализу данных // *Вестник КазНУ. Серия биологическая*. -2012. - №4 (56). – С. 270-274.
- 10 Comon P., Independent Component Analysis: a new concept // *Signal Processing*. – 1994. – 36 (3). – P. 287–314.
- 11 Liebermeister W. Linear modes of gene expression determined by independent component analysis // *Bioinformatics*. – 2002. – V. 18 (1). – P. 51-60.
- 12 Lee S. and Batzoglou S. Application of independent component analysis to microarrays // *Genome Biol.* – 2003. -V. 4 (11). – P. 1-21.
- 13 Hori G., Inoue M., Nishimura S., and Nahakara H. Blind gene classification an application of a signal separation method // *Genome Informatics*. – 2001. – V. 12. – P. 255-256.
- 14 <http://www.ncbi.nlm.nih.gov/geo/>
- 15 <http://www.bioconductor.org/>
- 16 Wu Z., Irizarry R.A., Gentleman R. et al. A model based background adjustment for oligonucleotide expression arrays // *Journal of the American Statistical Association*. - 2004. – V. 99. – P. 909-917.
- 17 <http://www.mathworks.com/>
- 18 Himberg J., Hyvarinen A. and Esposito F. Validating the independent components of neuroimaging time series via clustering and visualization // *Neuroimage*. – 2004. – V.22 (3). – P. 1214-1222.
- 19 Jackson D. Stopping rules in principal component analysis: a comparison of heuristical and statistical approaches // *Ecology*. – 1993. – V.74 (8). – P. 2204-2214.

У.Е. Каиров, А.Ю. Зиновьев, Т.А. Карпенюк, Е.М. Раманкулов

Сүт безі ісігімен ауыратын пациенттердің транскриптомаларында қалпына келтірілетін тәуелсіз компоненттерді іздеу

Тәуелсіз компоненттер әдісті қолданып, Affymetrix HG-U133A микрочиптер негізінде сүт безі ісігінің транскриптомдардан тәуелсіз компоненттерді іздеу әдісі шығарылды. Бұл әдіс рак ауруларына тән корреляциялық графтарды тұрғызу үшін, гендік байланыстарды және жаңа сигналдық жолдарды анықтау үшін қолданылуы мүмкін.

Түйін сөздер: сүт безі ісігі, тәуелсіз компоненттер әдісі, ген экспрессиясының корреляциялық графтары, гендік әрекеттесу, сигналдық жолдар.

U.Ye. Kairov, A.Yu. Zinovyev, T.A. Karpenyuk, Ye.M. Ramanculov

Search of reproducible independent components in transcriptomes of patients with breast cancer

The technique with using of Independent component analysis for searching of reproducible independent components from Affymetrix HG-U133A array transcriptomes of patients with breast cancer has been developed. This technique can be used to construct correlation graphs of gene expression, to reveal gene interactions and new signaling pathways specific to cancer.

Keywords: breast cancer, independent component analysis, correlation graphs of gene expression, gene interactions, signaling pathways.